应用 ITS2 序列鉴定四川车前、平车前、大车前

任瑶瑶 江南屏 刘睿颖 宋良科 (西南交通大学生命科学与工程学院,四川成都610031)

摘 要 目的:评价 DNA 条形码技术对车前属植物的鉴定作用,并将之应用于四川车前属植物样本分析。方法:于 四川不同地方和不同海拔高度采集车前属 13 个植物样本,提取 DNA,进行 ITS2 序列 PCR 扩增、测序,从 Genbank 上下 载 10 条同属 ITS2 序列;运用 MEGA 5.0 对所有序列种间种内遗传距离进行计算分析,构建 Neighbor Joining(NJ)系统进 化树,并比较样本 ITS2 序列的二级结构差异。结果:车前、平车前、大车前的遗传距离较近,但是三者种间最小距离均远 大于种内最大距离,NJ 树显示三者聚为一大支,种内之间各单据一支;三者二级结构差异明显。分析不同地区和不同海 拔样本时发现,不同采集地的样本无明显差异。结论:以ITS2序列作为 DNA 条形码,对车前属植物进行准确、快速的识 别和鉴定,准确地弄清物种之间的系统进化关系,为该属药用植物的分布研究提供指导,对其质量控制、安全用药及资源 合理开发利用提供了理论依据。

关键词 车前属 DNA条形码 ITS2 二级结构 中药鉴定 四川 中图分类号 R281.71 文献标志码 A 文章编号 1672-397X(2017)05-0057-04

车前属(Plantago L.)属车前科植物,包括 190 余种,其中我国产车前属 20 种,分布于全国各地[1]。 国内外研究较多的车前属药用植物有车前草 (Plantago asiatica L.)、平车前(Plantago depressa willd.)、大车前(Plantago major L.)3 种,不仅具 有清热利尿、凉血、解毒的功效,还具有镇咳、祛 痰、抗菌抗炎等作用[2-3],主要含有黄酮、环烯醚 萜类、苯乙酰咖啡酰糖酯类、三萜类等化学成分[4-5]。 车前属植物资源丰富,用途广泛,且毒副作用小, 具有广阔的应用前景,现代医学对车前草进行了 深入研究,车前草中超过60种化合物已被分离 和鉴定[3],已发现有许多有效成分,并具有多种 药理作用,应大力开发和利用间。车前草植物形 态及药材性状特征较为相似,其内部组织构造区 别也不明显,且药材在采收加工后,叶片皱缩卷 曲,很难仅用形态学方法来确定药材的原植物及 其来源。

DNA 条形码技术是通过测定植物 DNA 序列 进行比较来反映其遗传差异,以进行物种分类和 鉴定[7]。ITS2 序列是位于核基因的一小段序列, 该序列在绿色植物中分布广泛。ITS2 序列具有通 用引物,对植物有较高的鉴别能力[8-10]。本实验拟 通过采集四川不同地区不同海拔车前属植物,并

从 Genbank 下载同属序列,以 ITS2 序列作为 DNA 条形码,分析遗传距离、Neighbor Joining (NJ)系统进化树和 ITS2 序列二级结构,对车前 属植物进行快速准确的鉴定,弄清车前属植物之 间的系统进化关系。对不同车前属药用植物进行 准确、快速的识别和鉴定,对研究车前属药用植 物分布具有指导作用,对未来遗传育种,种质资 源的深入研究、保护和安全利用都具有重要的理 论和实践价值。

1 材料

从四川省峨眉市、凉山州不同海拔处采集了13 份车前属植物样本, 经西南交通大学生命科学与 工程学院宋良科副教授鉴定, 分别为车前草 Plantago asiatica L.、平车前 Plantago depressa Willd.、大车前 Plantago major Willd.,其中车前草 样品 4 份、平车前样品 1 份、大车前样品 8 份。标 本保存于西南交通大学标本室。同时在 GenBank 数据库中下载车前属植物 ITS2 序列 10 条,样品信 息见表 1。

2 方法

2.1 样品 DNA 提取、PCR 扩增及测序 取干燥药 材 30mg,加入液氮充分碾磨,使用植物 DNA 提取试 剂盒(Tiangen Biotech Co., China)提取总 DNA。以样

基金项目:国家科技重大专项(2014ZX09304-307-001-019);四川省中医药管理局项目(2016Q039)

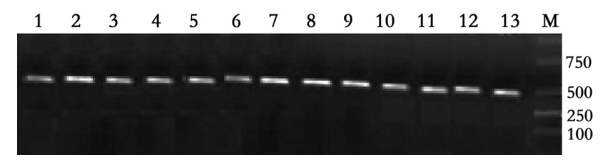
品 DNA 作为模板,对 ITS2 基因 序列进行 PCR 扩增。正向引物 ITS2F:5'-ATGCGATACTTGGT-GTGAAT-3':反向引物 ITS3R: 5'-GACGCTTCTCCAGACTA-CAAT-3'。PCR 反应体系:参照 PCR 反应试剂盒(TaKaRa 宝生 物工程大连有限公司)的说明。 PCR 反应条件: ①94℃变性 5min; ②94℃变性 30s; ③56℃ 退火 30s; ④72℃延伸 30s; ⑤40 个循环;⑥72℃延伸 10min。将 PCR 产物送至北京梓熙生物科 技有限公司进行测序。

2.2 数据处理 采用CodonCode Aligner 6.0.2 对所得序列峰图 进行校对拼接,去除引物区和 低质量的序列,由基于隐马尔 可夫模型(HMMer)的注释方 法切除 ITS2 两端的 5.8S 和 28S 区域,获得标准的 ITS2 间 隔区序列[11]。所有 ITS2 序列用 MEGA5.0 比对[12],分析种内、 种间的遗传变异[13], 计算 K2P (Kimura 2-parameter) 遗 传距离、相邻结合法(Neighbor Joining,NJ)构建系统进化树[14], 根据 Koetschan 等[15]建立的 ITS2 数据库网站预测 ITS2 序列的 二级结构。

3 结果

3.1 PCR 扩增结果 以样本 DNA 为模板扩增 ITS2 基因片

断的 PCR 产物琼脂糖凝胶电泳结果见图 1,基因 片段大小约为 500bp, 为含有 ITS2 序列的 DNA 片 断。



M:DNA Marker;1-13:对应标本编号样品 ITS2 PCR 扩增片段 图 1 车前属植物样本 ITS2 扩增产物电泳结果

3.2 种内种间的变异分析 所有 ITS2 序列长度为 199~209bp、GC 含量 52%~61.1%(见表 1)。应用

表 1 车前属植物样本信息

		表1	车前禹植	物样本信息	
植物名称	拉丁名	序列长度 (bp)	GC 比例 (%)	来源	标本号或 GenBank 登录号
车前草	Plantago asiatica	199	54.8	四川省峨眉黄湾乡 海拔:496m	01
车前草	Plantago asiatica	199	54.8	四川省峨眉黄湾乡张坝村 海拔:528m	02
车前草	Plantago asiatica	199	54.8	四川省峨眉黄湾乡 海拔:494m	03
车前草	Plantago asiatica	199	54.8	四川省峨眉黄湾乡张坝村 海拔:482m	04
车前草	Plantago asiatica	199	54.8	GenBank	KJ493679
车前草	Plantago asiatica	199	54.8	GenBank	KJ493677
平车前	Plantago depressa	200	52.0	四川省凉山州木里县乔瓦镇 海拔:2297m	05
平车前	Plantago depressa	200	53.0	GenBank	JF421530
平车前	Plantago depressa	199	54.8	GenBank	KF454407
平车前	Plantago depressa	199	54.8	GenBank	KF454400
大车前	Plantago major	200	56.0	四川省峨眉黄湾乡 海拔:483m	06
大车前	Plantago major	200	56.0	四川省峨眉黄湾乡张坝村 海拔:477m	07
大车前	Plantago major	200	56.0	四川省峨眉黄湾乡张坝村 海拔:482m	08
大车前	Plantago major	200	56.0	四川省峨眉黄湾乡 海拔:519m	09
大车前	Plantago major	200	56.0	四川省峨眉黄湾乡 海拔:518m	10
大车前	Plantago major	200	56.0	四川省峨眉高桥镇 海拔:748m	11
大车前	Plantago major	200	56.0	四川省峨眉高桥镇 海拔:748m	12
大车前	Plantago major	200	56.0	四川省凉山州木里县乔瓦镇 海拔:2294m	13
大车前	Plantago major	200	55.7	GenBank	KJ493647
对叶车前	Plantago arenaria	208	58.6	GenBank	AY101891
对叶车前	Plantago arenaria	209	56.5	GenBank	AY692082
芒苞车前	Plantago aristata	208	58.5	GenBank	AY101911
芒苞车前	Plantago aristata	208	61.1	GenBank	AJ548983

MEGA 5.0 软件对样品进行多序列比对, 比对后的 序列长度为 211bp。MEGA 5.0 分析显示车前、大车 前种内没有变异位点,平车前3个变异位点,对叶 车前8个变异位点, 芒苞车前4个变异位点, 种间 最多27个变异位点(见表2)。

3.3 K2P 遗传距离分析 物种间种内距离越小,种 间距离越大越适合条形码鉴定[16]。计算近缘种车 前、平车前、大车前 ITS2 种内种最大遗传距离为 0~0.005,种间最小遗传距离为 0.010~0.051,种间最 小距离均远大于种内最大距离,样本的 K2P 距离见 表 3。

				•	_				_			•	-		_			_	 •	 _		_																
	-1.1	1.	-	-		-	-	-	4							5				- 1	- 1	1 2 3		1	1 1			1 5	- 1	1 6 3		1 6	1 6 7	1 7 0	1 7 1	1 7 4	1 7 7	1 7 9
车前草01																			Α		С	C			CA	١ (T (Т	Т	С	Α	Α	С	Т	Т	(
车前草02		Ī.	Ī.		1.	1.	Ī.																															Ť.
车前草03																										١.												
车前草04																																			-		-	
车前草KJ493679			Ī.		1.																					١.										Ι.		
车前草KJ493677					٦.	١.	١.															П.				٦.		П.										
平车前 05	Т	1.						С								Т				С	T	T /	۹.		Τ.							Т			Т			
平车前JF421530.1	T							C								Т				С	T	T	۹.		Τ.	١.						Т						
平车前KF454400	T	1.			١.		١.	C								Т				С	T	T /	۹.	.	Τ.	٦.						Τ						
平车前 KF454407	T							C								Т				С	T	T /	۹.		Τ.	١.						Т			-		-	
大车前06			Ī.		١.			C												С						١.												
大车前07								C												С															-		-	
大车前08								C												С															-			
大车前09								C												С																		
大车前10								C												С																		
大车前r11								C												С																		
大车前12								C												С																		
大车前13								C												С																		
大车前KJ493647.1								C												С																		
对叶车前AY101891		C					T					Т			С				G	С		T.		C.	T T	1		C	Α			Т		C			С	
对叶车前AY692082		C				١.				Т									G	С	T	Τ.	. (T I			C.						С			С	
芒苞车前AY101911					\ C				Α		Т		G				С			С			. (T T			Α.				Т		С			С	l.
共有车前Δ I5/18983	T	10	G	1	V C				Λ		т		C	т			0	Λ		0				n	ТΙ	- 1	2 .	Λ		0	0			0		0	0	

表 2 车前属植物 ITS2 序列变异位点

3.4 NJ 树分析 根据 ITS2 序列对所有样本构建 NJ系统聚类树,见图 2。从 NJ 进化树图可以看 出,各样本种内之间单据一支,车前、平车前、大 车前聚为一支,分支之间靴带检验法(bootstrap) 支持率在70%以上,与对照列的对叶车前和芒苞 车前之间的支持率为99%,物种之间可明显区分 开。

表 3 车前属植物样本种间和种内距离分析

•				
种类1	种类 2	类型	最小种间距离	最大种内距离
车前	车前	种内		0
平车前	平车前	种内		0.005
大车前	大车前	种内		0
车前	平车前	种间	0.051	
平车前	大车前	种间	0.036	
大车前	车前	种间	0.010	

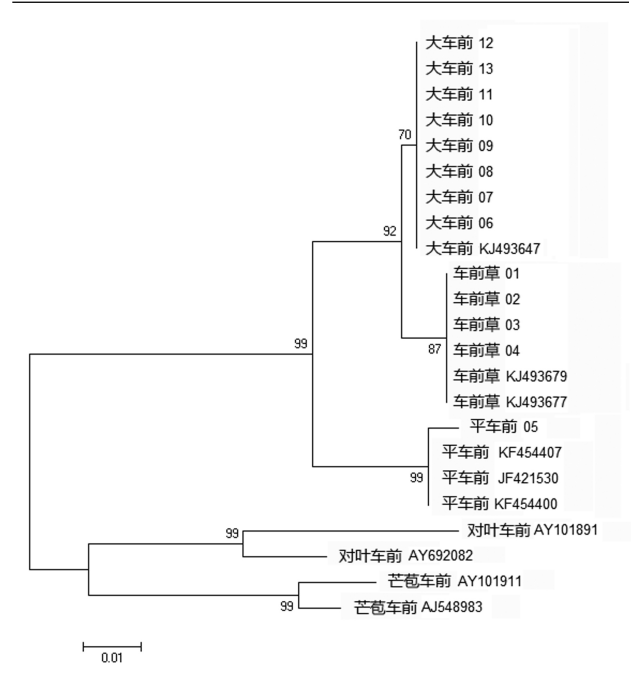


图 2 基于 ITS 序列构建的车前属植物样本的 NJ 树

3.5 ITS2 二级结构的分析 车前属植物样本 ITS2 序列 的二级结构如图 3 所示。从样 本的二级结构中可以看出,平 车前、大车前和车前的 ITS2 二 级结构较为相似,均由一个中 心环及5个螺旋区 (Helix)组 成,但螺旋Ⅲ区上有差异,茎 环(Loop)数量不同,与芒苞车 前在Ⅰ、Ⅲ区均有差异,茎环 的大小位置不同,与对叶车前 差别最大,中心环和螺旋 I、 Ⅱ、Ⅲ区均有明显差异。

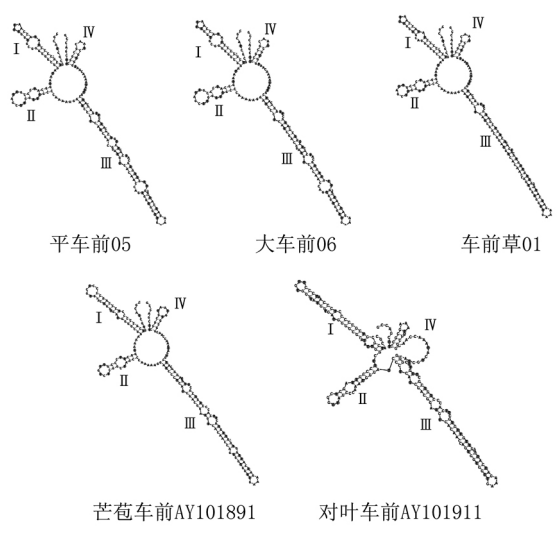


图 3 车前属 ITS2 序列的二级结构

4 结语

车前属植物含有多种有效成分,具有较好的药用 价值,其中车前、平车前和大车前是中医常用药材。 ITS2 序列为核糖体内转录间隔区序列,对植物具有 良好的扩增成功率和物种水平的鉴定成功率[17-18], 以 ITS2 序列作为 DNA 条形码对车前属植物的鉴定 进行研究可以达到既快速又准确。

本研究将四川不同地方不同海拔采集的 13 份 车前属植物样本进行 PCR 扩增、测序,成功获得双 向序列,用CodonCode Aligner 软件拼接序列,隐马 尔可夫模型(HMMer)的注释方法得到 ITS2 间隔区 序列。Genbank 上下载同属序列 10条,23条 ITS2序 列长度 199~209、GC 含量 52%~61.1%, MEGA 5.0 分析样本间变异位点、种内种间的遗传距离和构建 的NJ进化树显示车前、平车前、大车前有很近的亲 缘关系,但三者之间相比较,种内变异较小,种间变 异比较明显。分析不同地区和不同海拔样本时发 现,不同采集地的样本无明显差异,同种样本被聚 为一支。车前属植物 ITS2 序列二级结构差异明显, 可以直观地将物种区分开,证明 ITS2 序列可以准确 的识别和鉴定车前属植物,这为车前属药用植物质 量标准进一步提高与完善提供了科学依据,为其安 全用药及合理开发利用提供了保障。如果要确定 ITS2 序列分析四川不同地域和海拔的车前属药用 植物资源分布,应从更多地区和海拔区间采样,进 一步扩大采集样本的范围和数量。

参考文献

- [1] 中国科学院植物研究所.中国高等植物图鉴:第4册[M]. 北京:科学出版社,1994:180.
- [2] 郭水良.车前属(Plantago L.)植物生态与进化生物学研 究进展[J].植物学通报,2002,19(5):567.
- [3] 杨亚军,周秋贵,曾红,等.车前草化学成分及新生物活性 研究进展[J].中成药,2011,33(10):1771.
- [4] 吴恋,王春艳,吕维,等.藏药大车前草中大车前苷的定性 和定量分析[J].成都中医药大学学报,2014,37(1):48.
- [5] 刘力丰.车前草研究进展[J].中国医药指南,2009,7(5):
- [6] 夏玲红,金冠钦,孙黎,等.车前草的化学成分与药理作用 研究进展[J].中国药师,2013,16(2):294.
- [7] BHARGAVA M, SHARMA A.DNA barcoding in plants: evolution and applications of in silico approaches and resources[J].Mol Phylogenet Evol, 2013, 67(3):631.
- [8] YAO H, SONG J, LIU C, et al. Use of ITS2 Region as the Universal DNA Barcode for Plants and Animals[J]. PLoS ONE, 2010, 5(10):e13102.
- [9] CHEN S, YAO H, HAN J, et al. Validation of the ITS2 region as a novel DNA barcode for identifying medicinal plant species[J].PLoS ONE, 2010, 5(1): e8613.
- [10] 豆荣昆, 毕振飞, 白瑞雪, 等. 黄花紫堇、多刺绿绒蒿及其

- 同属近缘物种的 ITS2 条形码鉴定与分析[J].中国中药 杂志,2015,40(8):1453.
- [11] KELLER A, SCHLEICHER T, SCHULTZ J, et al.5.8S-28S rRNA interaction and HMM -based ITS2 annotation[J].Gene, 2009, 430(1-2):50.
- [12] TAMURA K, PETERSON D, PETERSON N, et al. MEGA5: Molecular Evolutionary Genetics Analysis Using Maximum Likelihood, Evolutionary Distance, and Maximum Parsimony Methods[J].Molecular Biology and Evolution, 2011, 28(10): 2731.
- [13] LIAO B, CHEN X, HAN J, et al. Identification of commercial Ganoderma (Lingzhi) species by ITS2 sequences [J]. Chinese Medicine, 2015, 10(1):1.
- [14] SAITOU N, NEI M.The neighbor-joining method: a new method for reconstructing phylogenetic trees[J].Mol Biol Evol, 1987, 4(4): 406.
- [15] KOETSCHAN C, F?RSTER F, KELLER A, et al. The ITS2 DatabaseIII-sequences and structures for phylogeny[J]. Nucleic Acids Res, 2010, 38 (Database issue); D275.
- [16] 朱英杰,陈士林,姚辉,等.重楼属药用植物 DNA 条形码 鉴定研究[J].药学学报,2010,45(3):376.
- [17] GAO T, YAO H, SONG J, et al. Identification of medicinal plants in the family Fabaceae using a potential DNA barcode ITS2[J].J Ethnopharmacol, 2010, 130(1):116.
- [18] 罗焜,陈士林,陈科力,等.基于芸香科的植物通用 DNA 条形码研究[J].中国科学:生命科学,2010,40(4):342.

第一作者:任瑶瑶(1982--),女,硕士,工程师, 中药学专业。

通讯作者:谭睿,博士,教授,硕士研究生导师。 tanrui@swjtu.edu.cn

> 收稿日期:2016-11-22 编辑:吴 宁

文末参考文献著录规则之页码的标注

根据国家标准GB/T 7714-2015《信息与文献 参考文献著录规则》的规定,本刊关于参考文献页码的著录做重要 修订如下:(1)专著或期刊中析出文献的页码或引文页码,应采用阿拉伯数字著录,引自序言或扉页题词的页码,可按 实际情况著录(例:钱学森.创建系统学[M].2版.太原:山西科学技术出版社,2001:序2.);(2)阅读型参考文献的页码著 录文章的起始页,引文参考文献的页码著录引用信息所在页。阅读型参考文献指著者为撰写或编辑论著而阅读过的 信息资源;引文参考文献指著者为撰写或编辑论著而引用的信息资源。例如:将谈勇等发表在本刊 2015 年第 1 期第 1-4页的文章《夏桂成国医大师调治复发性流产经验探赜》作为阅读型参考文献引用时,页码著录为"1":作为引文文 献引用"夏老提出心-肾-子宫轴功能失常是流产病机关键"这一观点或原文时,著录这些引用信息的所在页"3"。更多 有关本刊参考文献著录规则见本刊网站(www.jstem.en)首页下载专区。